Rotor 51A

- Français
- English

Downloadable models
×

Open access

Git project

About

This report presents the experimental performance for a fan in the series, designated fan stage 5lA. The 12-bladed, 50.8-centimeter-diameter fan was designed for a tip-sgeed of 243.8 meters per second. The design stage pressure rniio was 1.15 at a weight flow of 29.9 kilograms per second. The fan blade angles can be manually reset. Overall performance for both the rotor and the stage along with the blade-element performance of both rotor and stator are presented for the design rotor blade setting angle.

- Original NASA technical report [(cite:hager1974design>Hager. «Performance of a 1.15-pressure-ratio Axial-flow Fan Stage with a Blade Tip Solidity of 0.5» 1974. pdf)]:

```
@TechReport{osborn1974performance,
  author           = {Osborn, Walter Martin and Steinke, Ronald J},
  date             = {1974},
  institution      = {NASA Lewis Research Center Cleveland, OH, United
States},
  title            = {Performance of a 1.15-pressure-ratio Axial-flow Fan
Stage with a Blade Tip Solidity of 0.5},
  number           = {NASA-TM X-3052},
  url              = {https://ntrs.nasa.gov/citations/19740021256},
}
```

- Pictures :

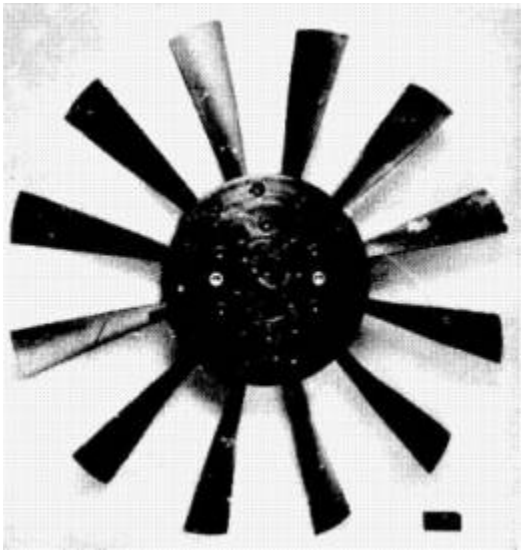


Fig1. https://ntrs.nasa.gov/citations/19740021256 p.67

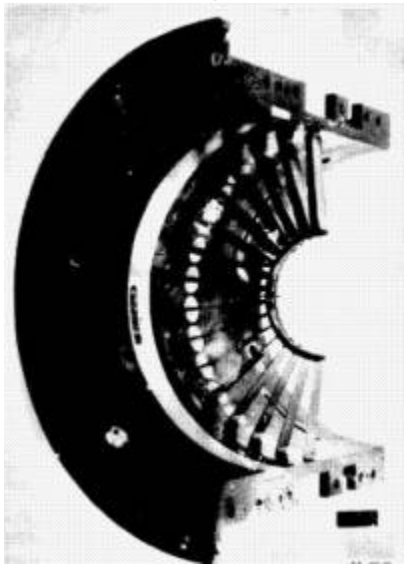


Fig2. https://ntrs.nasa.gov/citations/19740021256 p.67

Useful documents

- downloadable models (Git project)
  - NASA technical report (.pdf)
  - rotor51a_original.csv (.csv), usable as input of OpenMCAD[(cite:Kojtych_2022_gene_aubes>Kojtych S., Batailly A. «OpenMCAD, an open blade generator: from Multiple-Circular-Arc profiles to Computer-Aided Design model» 2022. code en libre accès)] to generate reference blade models.

Reference blade

The **reference blade** is defined with multiple-circular arc profiles[(cite:Crouse_1969_computer)] given in the original NASA report[(cite:osborn1974performance)]. Corresponding models are computed with the open-source code OpenMCAD[(cite:Kojtych_2022_gene_aubes)].

Geometry

The geometry of rotor 51A is described in the original NASA report by the following table. The lenghts are in inches and the angles in degrees.

TABLE IV. - BLADE GEOMETRY FOR ROTOR 51A

RP	PERCENT SPAN	RADII R1	RADII R2	BLADE ANGLES K1C	BLADE ANGLES K1T	BLADE ANGLES K2C	DELTA INC	CONE ANGLE
TIP	0.	25.411	25.411	52.15	47.86	43.[illegible]	4.59	0.057
	5.	24.648	24.638	51.23	46.66	42.09	4.69	-0.130
2	11.	23.872	23.876	50.26	45.38	41.52	4.96	0.057
3	15.	23.193	23.114	49.26	44.18	38.86	5.43	0.258
4	31.	21.744	21.828	46.16	39.[illegible]	35.43	[illegible].72	0.997
5	51.	17.623	17.781	41.54	33	24.87	11.89	1.835
6	71.	14.545	14.732	35.92	25	14.83	15.84	2.091
7	85.	12.511	12.446	31.21	19.	[illegible].05	[illegible].75	1.619
8	91.	11.569	11.684	29.46	17.[illegible]	4.83	18.09	1.274
9	95.	10.847	10.922	27.65	14.98	2.31	18.29	0.834
HUB	100.	10.162	10.162	25.91	13.02	0.31	18.46	0.057

RP	BLADE THICKNESSES T1	BLADE THICKNESSES TM	BLADE THICKNESSES T2	AXIAL DIMENSIONS Z1	AXIAL DIMENSIONS ZM	AXIAL DIMENSIONS Z2	AXIAL DIMENSIONS ZC
TIP	0.166	0.332	0.166	0.353	2.496	2.496	4.823
	0.164	0.332	0.164	0.332	2.496	2.496	4.851
2	0.168	0.348	0.168	0.324	2.495	2.495	4.882
3	0.[illegible]	0.361	0.[illegible]	0.[illegible]	2.494	[illegible].494	4.911
4	0.199	0.521	0.199	0.197	2.488	2.488	4.994
5	0.151	0.765	0.149	0.102	2.485	2.485	5.096
6	0.195	0.978	0.196	0.052	2.488	2.488	5.163
7	0.[illegible]	1.057	0.211	0.032	2.495	2.495	5.[illegible]72
8	0.213	1.064	0.213	-0.001	2.498	2.498	5.[illegible]65
9	0.[illegible]	1.062	0.213	-0.021	2.501	2.501	5.152
HUB	0.212	1.062	0.212	0.000	2.504	2.504	5.138

Aerodynamic design

	unit	value
pressure ratio	[-]	1.111
mass flow	[kg/s]	30.27
tip speed	[m/s]	213,3
tip solidity	[-]	0.5
aspect ratio	[-]	3.08
rotative speed	[%]	90 to 120 % of design speed

Material properties

The material of rotor 51A is not defined in the original NASA report. A 200-grade maraging steel is considered:

	unit	value
alloy	[-]	18-Ni-200-maraging
Young's modulus	[GPa]	180
density	[kg/m3]	8000
Poisson's ratio	[-]	0.3
yield stress	[GPa]	1.38

CAD model

The CAD model is computed with the open source code OpenMCAD[(cite:Kojtych_2022_gene_aubes)].



pressure side



suction side

Natural frequencies

First three natural frequencies (with clamped root) for the mesh computed with OpenMCAD[(cite:Kojtych_2022_gene_aubes)]:

Mode	Type	Natural angular frequency (rad/sec)	Natural frequency (Hz)
1		2578.588	410.395
2		8044.80	1280.37
3		10763.98	1713.14

Initial blade

The **initial blade** is defined with in-house LAVA parameters[(cite:Kojtych_2022_Methodology)] computed from the reference blade CAD model. The initial blade is usually used as starting point for an optimization process. Its geometry is similar to the one of the reference blade.

Natural frequencies

First three natural frequencies (with clamped root)

- from the whole mesh:

Mode	Type	Natural angular frequency (rad/sec)	Natural frequency (Hz)
1		2560.66	407.541
2		8009.99	1 274.83
3		10726.52	1 707.18

- from the reduced order model:

Mode	Type	Natural angular frequency (rad/sec)	Natural frequency (Hz)
1		2560.75	407.556
2		8013.95	1275.46
3		10729.8	1707.7

Modèles téléchargeables

×

Libre accès

lien vers le projet Git

À propos

Ce rapport présente les performances expérimentales d'un ventilateur de la série, désigné étage de ventilateur 5lA. Le ventilateur à 12 pales de 50,8 centimètres de diamètre a été conçu pour une vitesse de pointe de 243,8 mètres par seconde. La pression d'étage de conception était de 1,15 à un débit pondéral de 29,9 kilogrammes par seconde. Les angles des pales du ventilateur peuvent être réinitialisés manuellement. Performances globales pour le rotor. Les performances du rotor et du stator sont présentées pour l'angle de réglage des pales du rotor de conception.

- Rapport technique original [(cite:hager1974design>)]:

```
@TechReport{osborn1974performance,
  author           = {Osborn, Walter Martin and Steinke, Ronald J},
  date             = {1974},
  institution      = {NASA Lewis Research Center Cleveland, OH, United
States},
  title            = {Performance of a 1.15-pressure-ratio Axial-flow Fan
Stage with a Blade Tip Solidity of 0.5},
  number           = {NASA-TM X-3052},
  url              = {https://ntrs.nasa.gov/citations/19740021256},
}
```

- Photographies :

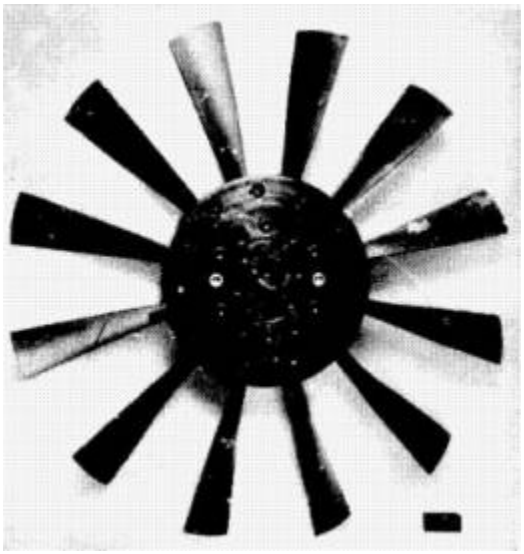


Fig1. https://ntrs.nasa.gov/citations/19740021256 p.67

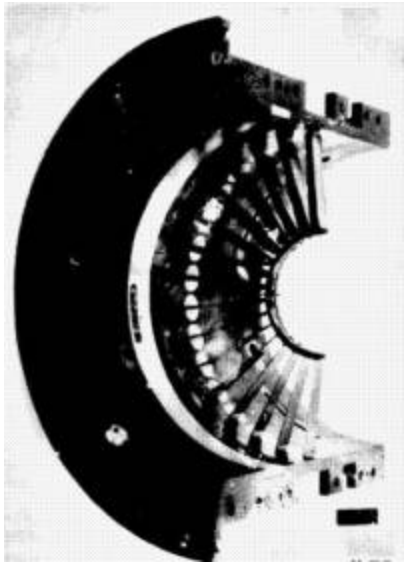


Fig2. https://ntrs.nasa.gov/citations/19740021256 p.67

Documents utiles

- modèles téléchargeables (lien vers projet Git)
  - rapport technique original de la NASA (.pdf)
  - rotor51a_original.csv (.csv), utilisable en entrée de OpenMCAD[(cite:Kojtych_2022_gene_aubes>Kojtych S., Batailly A. «OpenMCAD, an open blade generator: from Multiple-Circular-Arc profiles to Computer-Aided Design model» 2022. code en libre accès)] pour générer l'aube de référence

Aube de référence

L'**aube de référence** est définie par des profils de type arcs circulaires multiples[(cite:Crouse_1969_computer>Crouse *et al*. «A computer program for composing compressor blading from simulated circular-arc elements on conical surfaces » 1969. NASA-TN-D-5437. pdf)], donnés dans le rapport technique original de la NASA[(cite:osborn1974performance)]. Les modèles associés sont obtenus avec le code en libre accès OpenMCAD[(cite:Kojtych_2022_gene_aubes)].

Géométrie

La géométrie du rotor 51A est décrite dans le rapport d'origine de la NASA par les tableaux suivants. Les grandeurs sont en pouces et en degrés.

TABLE IV. - BLADE GEOMETRY FOR ROTOR 51A

RP	PERCENT SPAN	RADII R1	R2	BLADE ANGLES K1C	K1T	K2C	DELTA INC	CONE ANGLE
TIP	0.	25.411	25.411	52.15	47.86	43.[illegible]	4.59	0.057
	5.	24.648	24.638	51.23	46.66	42.09	4.69	-0.130
2	11.	23.872	23.876	50.26	45.38	41.52	4.96	0.057
3	15.	23.193	23.114	49.26	44.18	38.86	5.43	0.258
4	32.	21.744	21.828	46.16	39.[illegible]	35.43	7.72	0.997
5	53.	17.623	17.781	41.54	33	24.87	11.89	1.815
6	72.	14.545	14.732	35.92	28	4.83	15.84	2.091
	85.	12.533	12.446	31.20	19.	[illegible]	17.75	1.619
8	91.	11.569	11.684	29.46	17.[illegible]	4.83	18.09	1.274
9	96.	11.847	11.922	27.65	14.98	2.31	18.29	0.634
HUB	100.	12.162	12.162	25.91	13.32	2.31	18.46	0.057

RP	BLADE THICKNESSES T1	TM	T2	AXIAL DIMENSIONS Z1	ZM	Z2	Z3
TIP	0.366	0.352	0.366	0.353	2.496	2.496	4.823
	0.364	0.352	0.364	0.352	2.496	2.496	4.851
2	0.368	0.348	0.368	0.304	2.495	2.495	4.882
3	0.[illegible]	0.[illegible]	0.[illegible]	0.[illegible]	2.494	2.494	4.911
4	0.399	0.[illegible]	0.399	0.197	2.488	2.488	4.994
5	0.[illegible]	0.[illegible]	0.[illegible]	0.[illegible]	2.485	2.485	5.096
6	0.[illegible]	0.[illegible]	0.[illegible]	0.[illegible]	2.488	2.488	5.163
	0.[illegible]	0.[illegible]	0.[illegible]	0.[illegible]	2.495	2.495	5.[illegible]
8	0.[illegible]	0.[illegible]	0.[illegible]	-0.[illegible]	2.498	2.498	5.[illegible]
9	0.[illegible]	0.[illegible]	0.[illegible]	-0.[illegible]	2.501	2.501	5.[illegible]
HUB	0.[illegible]	0.[illegible]	0.[illegible]	0.000	2.504	2.504	5.138

Caractéristiques aérodynamiques

	unité	valeurs
taux de compression	[-]	1.111
débit massique	[kg/s]	30.27
vitesse en tête	[m/s]	213,3
solidité en tête	[-]	0.5
allongement	[-]	3.08
vitesse de rotation	[%]	90 à 120 % de la vitesse de conception

Propriétés matériau

Le matériau original du rotor 51A n'est pas défini dans le rapport de la NASA. Un acier maraging de grade 200 est considéré:

	unité	valeurs
alliage	[-]	18-Ni-200-maraging
module d'Young	[GPa]	180
masse volumique	[kg/m3]	8000
coefficient de Poisson	[-]	0,3
limite élastique	[GPa]	1,38

Modèle CAO

Le modèle CAO est obtenu avec OpenMCAD[(cite:Kojtych_2022_gene_aubes)].



intrados



extrados

Fréquences propres

Fréquences des trois premiers modes (noeuds du pied d'aube encastrés) pour le maillage obtenu avec OpenMCAD[(cite:Kojtych_2022_gene_aubes)] :

Mode	Type	Pulsation propre (rad/sec)	Fréquence propre (Hz)
1		2578,588	410,395
2		8044,80	1280,37
3		10763,98	1713,14

Aube initiale

L'**aube initiale** est définie par des paramètres spécifiques au LAVA[(cite:Kojtych_2022_Methodology>Kojtych S. *et al*. «Methodology for the Redesign of Compressor Blades Undergoing Nonlinear Structural Interactions: Application to Blade-Tip/Casing Contacts » 2022. Journal of Engineering for Gas Turbines and Power, Vol. 145, No. 5. pdf)] obtenus à partir du modèle CAO de l'aube de référence. L'aube initiale est classiquement utilisée comme point de départ dans le cadre de procédures d'optimisation; sa géométrie est similaire à celle de l'aube de référence.

Fréquences propres

Fréquences des trois premiers modes (noeuds du pied d'aube encastrés),

- pour le maillage complet :

Mode	Type	Pulsation propre (rad/sec)	Fréquence propre (Hz)
1		2560,66	407,541
2		8009,99	1 274,83
3		10726,52	1 707,18

- pour le modèle réduit :

Mode	Type	Pulsation propre (rad/sec)	Fréquence propre (Hz)
1		2560,75	407,556
2		8013,95	1275,46
3		10729,8	1707,7

Document issu de la page wiki:
https://wiki.lava.polymtl.ca/public/modeles/rotor_51a/accueil?rev=1680821561

Dernière mise à jour: **2023/04/06 18:52**